

C₃S의 生成反應 및 特性에 미치는 黃酸鹽의 影響

金 柄 權 · 崔 相 純* · 韓 基 成

仁荷大學校 無機材料工學科

* 漢陽大學校 無機材料工學科

(1988年 2月 22日 接受)

Effect of Sulphate on the Formation of C₃S and Its Properties

Byung-Kwon Kim, Sang-Heul Choi* and Ki-Sung Han

Dept. of Ceramic Eng., Inha University

*Dept. of Inorganic Materials Eng., Hanyang University

(Received February 22, 1988)

요 약

C₃S의 生成反應과 特性에 미치는 SO₃의 影響을 클린커중에서의 反應물질의 확산, C₃S의 결정크기 변화 및 조성변화 등을 통하여 구명하였다.

2.0 % 미만의 SO₃를 첨가하였을때 C₃S의 생성은 양호하였으나 2.0 % 이상이 첨가되면 오히려 C₃S의 생성이 억제되었다.

용액내로의 Si 성분의 확산계수는 약 $3.6 \sim 4.2 \times 10^{-7} \text{ cm}^2/\text{sec}$ 이었으며 SO₃의 함량이 증가함에 따라 미 소하게 감소하였으나 크게 影響을 받지 않는것으로 보인다.

1.0 % 이상의 SO₃를 첨가한 클린커에서 생성된 C₃S의 크기는 점점 조대해지는 경향이 있었다. 또한 클린 커 조성에 SO₃의 양이 증가할수록 용액 조성중의 CaO는 감소하고 SiO₂는 증가하였으며 따라서 C₃S의 생성 이 저하하는 것은 CaO 성분이 용액내로의 용해 및 물질이동이 저해되기 때문이라 생각된다.

ABSTRACT

Effect of SO₃ on the formation of C₃S and its properties were investigated through studies for diffusion of reacting component, the size variation of C₃S and compositional change of the phases in the clinker.

When less than 2.0% of SO₃ was added to the clinker composition, the formation of C₃S was enhanced, however, addition of more than 2.0% of SO₃ rather restrained the reaction remarkably.

The diffusion coefficient of Si into the melt was about $3.6-4.2 \times 10^{-7} \text{ cm}^2/\text{sec}$ and it was slightly decreased with the amount of SO₃.

The crystal size of C₃S formed in the clinker was grown gradually according to the amount of

SO₃, when more than 1.0% of SO₃ was added. With increasing of SO₃ content in the clinker composition of CaO and decreasing of SiO₂ were found in the melt of the clinker. Consequently, it is considered that the decreasing of C₃S formation is caused by dissolution and transportation of CaO component into liquid phase is interrupted.

1. 緒 論

포틀랜드 시멘트 클린커의 主組成物인 C₃S의 生成反應은 비교적 낮은 온도에서 固相反應으로 生成된 C₂S와 未反應의 CaO가 온도상승에 따라 生成된 酸化物들의 共融組成融液 중으로 溶解 擴散하여 석출하는 反應으로서 融液相의 존재는 이 반응에서 매우 중요한 구실을 한다.^{1~3)}

주된 시멘트 原料인 石灰質, 粘土質鑛物 및 酸化鐵 原料들 내에는 소량의 알칼리酸化物, MgO, SO₃ 등의 附隨成分들이 포함되어 있다. 클린커反應을 좌우하는 要因으로는 原料의 燒成反應性, 調合原料의 化學組成, 粉末度, 加熱條件 등으로 SO₃, MgO, 알칼리酸化物 등의 영향도 상당히 큰 要因으로 작용하고 있으며, 특히 SO₃는 融液相의 生成溫度를 상당히 낮추어 줄 뿐 아니라 融液의 粘度와 表面張力을 감소시키는 것으로 알려져 있다.^{4,5)} 表面張力의 감소는 液相의 wetting을 증진시켜 反應을 촉진시키며 한편 粘度감소에 따라 이온擴散이 용이하므로 反應속진을 가져온 것으로 보이나 低溫에서 溶解된 黃酸鹽의 液相은 SiO₂, Al₂O₃, Fe₂O₃ 및 CaO의 4成分으로 된 클린커融液과는 서로 섞이지 않고 分離되는 성질을 가지는 것으로 알려져 있고,^{6,7)} 따라서 실제적인 物質移動特性이 달라져 CaO와 C₂S간의 擴散反應에 의한 클린커反應 촉진효과를 모든 경우에 적용하기는 어렵다.⁸⁾ 또한 SO₃는 C₂S의 生成을 촉진하고 β-modification을 安定化하는데 기여하며⁹⁾ 燒成反應 과정에서 CaO를 固定시키는 中間相이 生成되기도 하여 클린커反應의 최종단계인 C₃S 生成反應에 영향을 미치게 된다.^{5,10)}

이러한 SO₃의 클린커 生成反應에 미치는 영향에 대하여 많은 研究가 행해지고 있으나 그들은 1族 혹은 2族의 陽이온이 結合된 형태 또는 MgO, K₂O, Na₂O 등 다른 成分들이 混在하고 있을때의 複合的인 영향을 연구한 것들이 대부분이다.

本 研究에서는 SO₃에 結合된 陽이온의 영향을 배제하기 위하여 비교적 낮은 온도에서 陽이온이 분해되어 氣化하는 黃酸암모늄을 SO₃源으로 사용하였다. 合成한 클린커에 대하여는 X線回折分析, 化學分析, 反射顯微鏡觀察, SEM-EDS 元素分析, Si의 擴散係數

計算등을 통하여 SO₃ 含量에 따른 클린커反應, 특히 C₃S의 生成反應에 미치는 영향을 究明하고 生成物의 特性을 검토 하였다.

2. 實 驗

2.1 出發 原料

클린커의 合成에는 特級 및 1級의 CaCO₃(Kanto) SiO₂(Junsei), Al₂O₃(Fisher), Fe₂O₃(Chamaleon)와 SO₃源으로는 (NH₄)₂SO₄(Katayama)를 사용하였다.

2.2 SO₃의 添加量을 달리한 클린커의 合成

SO₃의 추가량에 따른 클린커鑛物, 특히 C₃S의 生成反應 및 特性을 보기 위하여 Table 1과 같은 調合比로 原料를 配合한 후 1000℃에서 1시간 煨燒하고 1050 kg/cm²로 加壓成形하여 1400℃에서 1시간 燒成하여 클린커를 合成하였다. 이때 LSF=92, SM=2.2 및 IM=1.2(A-I계열)와 IM=2.0(A-II계열)의 두종류로 하였다.

2.3 Si의 擴散係數測定을 위한 出發物質의 合成 가) C₂S의 合成

CaCO₃와 SiO₂를 2:1몰비로 混合한 후 1000℃에서 1시간 煨燒하고 500 kg/cm²로 加壓成形한 후

Table 1. Chemical Composition of Raw Mix with Different Amount of SO₃.

(wt %)

Composition Sample No.	SiO ₂	Al ₂ O ₃	Fe ₂ O ₃	CaO	SO ₃
A-1-(0)	22.61	5.61	4.67	67.10	0
A-1-(0.5)	22.50	5.58	4.65	66.77	0.5
A-1-(1.0)	22.38	5.55	4.62	66.45	1.0
A-1-(1.5)	22.27	5.53	4.60	66.10	1.5
A-1-(2.0)	22.16	5.50	4.58	65.78	2.0
A-1-(3.0)	21.93	5.44	4.53	65.10	3.0
A-11-(0)	22.47	6.81	3.41	67.31	0
A-11-(0.5)	22.36	6.78	3.39	66.97	0.5
A-11-(1.0)	22.24	6.74	3.38	66.64	1.0
A-11-(1.5)	22.13	6.71	3.36	66.30	1.5
A-11-(2.0)	22.02	6.67	3.34	65.96	2.0
A-11-(3.0)	21.80	6.60	3.31	65.29	3.0

1400 °C에서 3시간 煅成하여 γ -C₂S를 합성하였다.

나) 클린커 融液固化物의 합성

SiO₂, Al₂O₃, Fe₂O₃와 CaCO₃를 共融組成인 SiO₂ = 6.0 wt %, Al₂O₃ = 22.7 wt %, Fe₂O₃ = 16.5 wt %, CaO = 54.8 wt %¹³⁾의 比率로 調合하여 1400 °C에서 3시간 熔融시킨 후 水中에서 急冷시켜 glass相으로 固化시킨 시료를 분쇄하여 사용하였다.

다) C₃S의 합성

위에서 얻은 C₂S와 CaCO₃를 1000 °C에서 煅燒하여 얻은 CaO를 1:1 몰비가 되도록 配合하고 클린커 融液固化物을 一定比率로 하여 SO₃의 含量을 변화시켜 Table 2와 같이 배합하였다. 配合한 시료는 1050 kg/cm²로 加壓成形하고 1400 °C에서 30분간 소성하여 C₃S를 합성하였다.

Table 2. Composition of Starting Materials for Preparation of C₃S Compound.

Composition Sample No.	C ₂ S	CaO	*Melt	SO ₃
1	56.58	18.42	25.00	0
2	56.30	18.33	24.87	0.5
3	56.01	18.24	24.75	1.0
4	55.73	18.14	24.63	1.5
5	55.45	18.05	24.50	2.0
6	54.88	17.87	24.25	3.0

* Melt: 6.0 SiO₂ + 22.7 Al₂O₃ + 16.5 Fe₂O₃ + 54.8 CaO(wt %)

2.4 實驗 方法

1) X線回折分析

合成한 클린커들에 대하여는 生成된 結晶相의 확인을 위하여 Philips PW 1710의 X線回折裝置를 이용하여 X線回折分析을 하였다. 측정조건은 CuK_α(Ni filter); 40 KV 25 mA, 走査速度; 3°(2θ)/min, full scale; 1000 cps로 하였다.

2) 化學分析

合成한 클린커 및 C₃S에 대하여 遊離石灰含量 및 殘留 SO₃ 含量을 分析 하였다.

分析은 KSL-5120¹²⁾의 포틀랜드 시멘트의 化學分析方法에 따랐다.

3) 클린커의 組織觀察 및 EDS 元素分析

合成한 클린커들은 硬化用樹脂를 사용하여 마운팅하고 表面을 잘 研磨한 후 에칠알콜과 窒酸의 1:100 腐蝕液에 약 5초간 부식시켜 微細構造 觀察을 하였고 C₃S 結晶의 平均크기 측정, 點數計算方法¹³⁾에 의한 定

量分析을 하였다. 또한 SO₃의 固熔狀態, 클린커 鑛物의 組成變化 및 C₃S 結晶內의 附隨成分(Al₂O₃와 Fe₂O₃) 分布狀態를 보기 위하여 SEM과 EDS를 이용하여 각 鑛物 및 間隙質相의 微小領域에 대한 成分分析을 하였다.

4) Si의 擴散係數 計算

먼저 2.3에서 준비한 C₂S 및 CaO에 대하여 각각 CILAS 製 Granulometer 715의 粒度分析裝置를 이용하여 平均半徑을 측정하였다. 合成한 C₃S는 KSL-5120에 따라 遊離石灰分을 定量 하였으며 (1)式에 따라 反應率(α)을 구하였다.

$$\alpha = 1 - [\text{free CaO} / \text{total CaO}] \dots\dots\dots (1)$$

Si의 擴散係數는 Kondo와 Choi의 'Depth of dissolved layer' 方法¹⁶⁾에 따라 구하였다.

$$D = (1 - \sqrt[3]{1 - \alpha})^2 \bar{r}_0^2 / 2 \cdot \Delta c \cdot t \dots\dots\dots (2)$$

D : 擴散係數

Δc : CaO와 C₂S 界面間의 濃度差 (= 0.001)

t : 燒成 時間 (= 1800 sec)

\bar{r}_0 : 出發物質의 平均半徑

3. 實驗 結果

3.1 SO₃ 添加量 변화에 따른 클린커의 生成反應

Table 1의 각 組成으로 合成한 클린커들에 대한 化學分析 결과 殘留 SO₃ 含量 및 遊離石灰含量을 Fig.에 나타내었다.

첨가한 SO₃는 燒成후 全量이 클린커내에 남아있지 않고 添加量의 약 80% 정도가 殘留하였으며 거의 直線적으로 비례하고 있다. 또한 遊離石灰含量은 殘留 SO₃ 含量이 1.5% 미만까지는 1.0% 미만으로 거의 一定한 수준이나 1.5% 이상에서는 급격히 증가함을 알 수 있다. 즉, 어느 限界值 이상의 SO₃ 添加는 클린커의 燒成性을 저하시키는 것으로 생각된다. Fig. 2의 A-I 계열 클린커들에 대한 X線回折分析 結果에서도 SO₃ 添加量이 2.0% 이상에서 CaO와 C₂S가 증가하고 C₃S가 감소하는 경향을 보이고 있다.

Table 3은 A 계열 試料들에 대한 顯微鏡寫眞을 통한 點數計算方法에 의한 클린커 鑛物의 定量結果와 Bogue式에 의한 計算結果를 比較한 것이다. Bogue式에 의한 클린커 組成의 計算은 KSL-5201¹⁴⁾에 따랐다.

本 實驗結果, Bogue式에 의한 計算值와 顯微鏡觀察

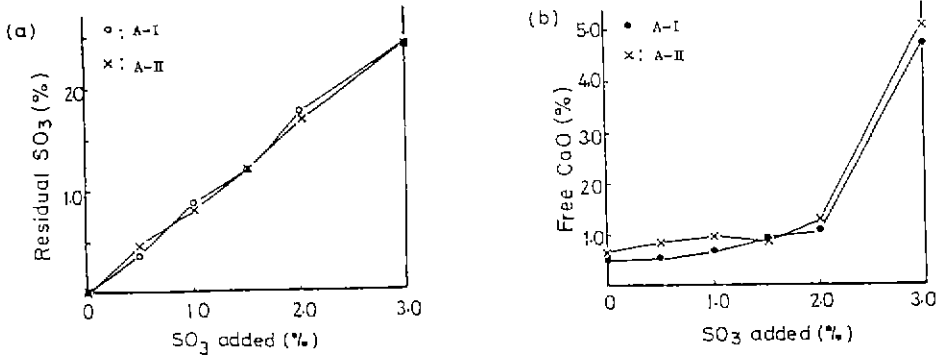


Fig. 1. Content of residual SO₃ (a) and free CaO (b) in A group clinker.

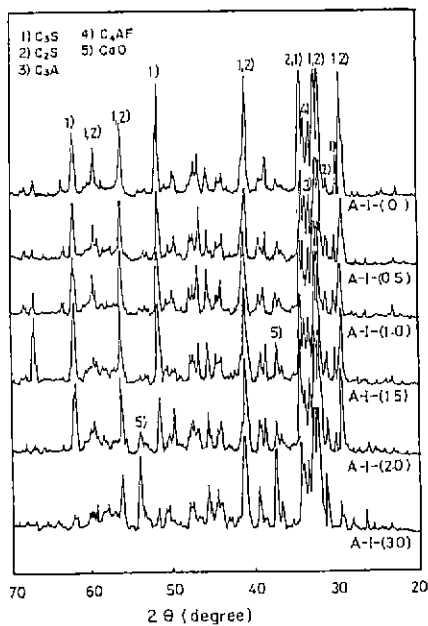


Fig. 2. XRD patterns of A-I group samples.

에 의한 定量結果는 SO₃ 含量 증가에 따라 차이가 컸다, 反射顯微鏡觀察에 의한 定量方法은 化學組成의 차이나 다른 結晶의 變形(modification)에 민감하지 않고 試料採取上의 誤差만 배제할 수 있으면 비교적 精確한 方法으로서¹⁵⁾ 여기서는 3회 測定한 平均값으로 SO₃ 첨가량이 1.0%까지는 C₃S 生成량이 약 10% 정도 많으나 2.0%일 때는 감소하고 있는데 이것은 SO₃의 존재가 C₃S 生成에 영향이 큰것을 보이는 것으로 Butt¹⁴⁾의 結果와도 일치하고 있다.

3.2 Si의 擴散係數

Table 4와 Fig. 3에 Si의 擴散係數를 計算하는데

사용한 data 및 結果를 나타내었다.

Si의 擴散係數는 $3.6 \sim 4.2 \times 10^{-7} \text{ cm}^2/\text{sec}$ 로서 SO₃ 含量이 증가함에 따라 미소하게 감소하는 경향을 나타내고 있다. Butt¹⁴⁾는 1450°C에서의 SO₃ 含量變化에 따른 Si의 擴散係數를 $5 \sim 8 \times 10^{-7} \text{ cm}^2/\text{sec}$ 라 하였는데 이것은 燒成溫度, 出發粒子的 크기 등 조성변화에 따라 다른 값을 나타낸 때문이라 생각된다.

3.3 SO₃의 添加에 따른 生成礦物의 特性

反射顯微鏡觀察 및 SEM-EDS 分析을 통하여 生成

Table 3. Quantitative Analysis of Clinker Minerals in the Samples with Different Amount of SO₃ by Different Methods.

Amount of SO ₃	Method	Amount (%)				
		C ₃ S	C ₂ S	C ₃ A	C ₄ AF	
0	Bogue		49.9	27.4	6.4	15.3
	Micro-scope	A-I	58.4	20.0	21.6(melt)	
		A-II	56.0	23.6	20.4(melt)	
0.5	Bogue		50.0	27.0	6.1	15.3
	Micro-scope	A-I	50.6	22.6	26.8(melt)	
		A-II	59.2	21.8	19.0(melt)	
1.0	Bogue		48.2	28.1	6.1	15.3
	Micro-scope	A-I	62.9	20.8	16.3(melt)	
		A-II	64.1	19.9	26.0(melt)	
1.5	Bogue		46.2	29.6	6.4	14.8
	Micro-scope	A-I	59.6	29.2	11.2(melt)	
		A-II	51.5	33.4	15.1(melt)	
2.0	Bogue		42.4	32.4	6.3	14.8
	Micro-scope	A-I	41.2	46.7	12.1(melt)	
		A-II	44.0	42.6	13.4(melt)	
3.0	Bogue		40.8	30.0	6.2	14.6
	Micro-scope	A-I	30.3	56.5	13.2(melt)	
		A-II	27.1	59.3	13.6(melt)	

된 클린커鑛物, 특히 C₃S結晶의 特性과 融液相의 組成變化 및 反應進行에 따른 組織의 발달상태를 究明하였다.

Fig. 4는 A-I 계열 클린커의 反射顯微鏡寫眞이다. SO₃가 첨가되지 않은 경우 20~40 μm의 C₃S結晶이 고르게 分布되어 있으며 비교적 큰(30~50 μm) C₃S結晶이 관찰되고 있다. 한편 SO₃를 함유한 클린커들에서는 SO₃의 첨가량에 따라 불규칙한 모양으로 점점 크게 성장하였으며 그안에 소량의 氣孔이나 CaO를 내포하고 있음을 볼 수 있다.

Table 4. Data for Calculation of Diffusion Coefficient of Si Ion.

SO ₃ %	Total CaO	Free CaO	α
0	68.96	1.05	0.984
0.5	68.40	1.31	0.981
1.0	67.85	1.65	0.976
1.5	67.28	1.65	0.975
2.0	66.78	1.65	0.975
3.0	65.70	1.89	0.971

$$\alpha = 1 - \frac{\text{Free CaO}}{\text{Total CaO}}$$

$$D_{Si} = \frac{(1 - \sqrt[3]{1 - \alpha})^2 \cdot \bar{r}_0^2}{2 \cdot \Delta C \cdot t}$$

ΔC : Concentration difference between CaO and C₃S interface. (= 0.001)
 t : Sintering time (= 1800 sec)
 r̄₀ : Average radius of starting materials (= 16.4 μm)

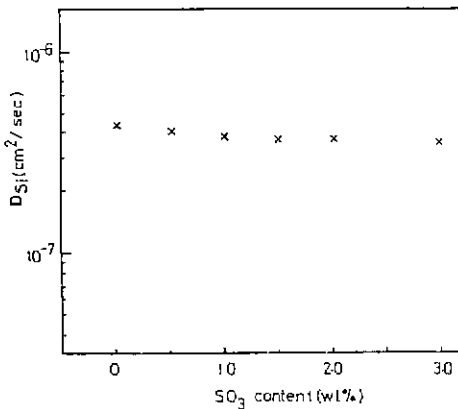


Fig. 3. Diffusion coefficient of Si ion at 1400 °C.

Fig. 5는 生成된 C₃S結晶의 平均크기를 나타낸 것으로서 SO₃ 含量이 증가함에 따라 40 μm에서 약 100 μm까지 크게 成長하였다.

Fig. 6은 SO₃를 첨가하였을 때와 첨가하지 않았을 때, 클린커組織의 발달상태를 보여주고 있다. SO₃를 첨가하지 않은 경우 燒成初期부터 C₃S結晶이 고르게 분포되어 生成되고 있으며 시간이 경과함에 따라 정상적으로 成長하였으나 2%의 SO₃가 첨가된 경우에는 클린커反應 초기에 CaO結晶들을 中心으로 C₃S結晶들이 둘러싸여 있으며 이들 C₃S는 CaO의 物質移動을 저해하는 것으로 보인다.

한편 走査電子顯微鏡과 EDS를 이용하여 SO₃의 含量變化에 따른 각 試料들의 融液相의 組成변화를 관찰하였고 生成된 C₃S結晶의 化學組成 및 附隨成分 含量의 변화를 분석하였다.

Fig. 7에 각 試料의 SEM 사진 및 元素分析을 행한 微小領域의 부위를 나타내었으며 Table 5에 각 부위의 元素分析 결과를 나타내었다.

Table 5에서 SO₃의 含量이 증가함에 따라 融液組成중의 CaO 含量이 약 1.5~2.0% 정도 낮아지고 상대적으로 SiO₂ 含量이 증가함을 알 수 있으며 이것은 顯微鏡觀察로도 확인한 바와 같이 CaO가 融液중으로 溶解, 擴散되지 못하고 未反應 상태로 남아있는 결과로 여겨진다. 또한 SO₃ 成分은 클린커鑛物 모두에 固溶되어 있으며 C₃S에의 固溶량은 SO₃ 첨가량에 관계없이 일정수준(0.30~0.55%)이며 C₂S와 融液에는 SO₃ 첨가량이 많으면 固溶량도 증가한다.

Fig. 8은 SO₃의 含量을 달리 하였을때 C₃S結晶내의 CaO와 SiO₂ 량의 변화를 보이고 있다. SO₃의 含量이 증가함에 따라 C₃S結晶내의 CaO 成分은 증가하고 SiO₂는 감소하고 있음을 볼 수 있다.

Fig. 9는 SO₃의 固溶에 따른 C₃S結晶内の Al₂O₃와 Fe₂O₃ 량의 변화를 보이고 있다. SO₃의 固溶은 Al₂O₃와 Fe₂O₃의 固溶량을 약간 감소시키고 있다. 이것은 C₃S의 큰 成長速度가 다른 成分의 固溶량을 낮추어 주는 것이라 생각된다.

4. 考 察

시멘트 클린커 生成反應에서 添加劑는 시멘트鑛物에 置換固溶되어 그들의 結晶構造에 영향을 미칠뿐 아니라 클린커 融液相의 성질도 변화시켜 反應成分의 液相을 통한 擴散反應에도 영향을 미친다. 添加物의 영향은 그 添加量에도 좌우되며 적정 첨가량은 固溶限界以上이다.^{4,5)}

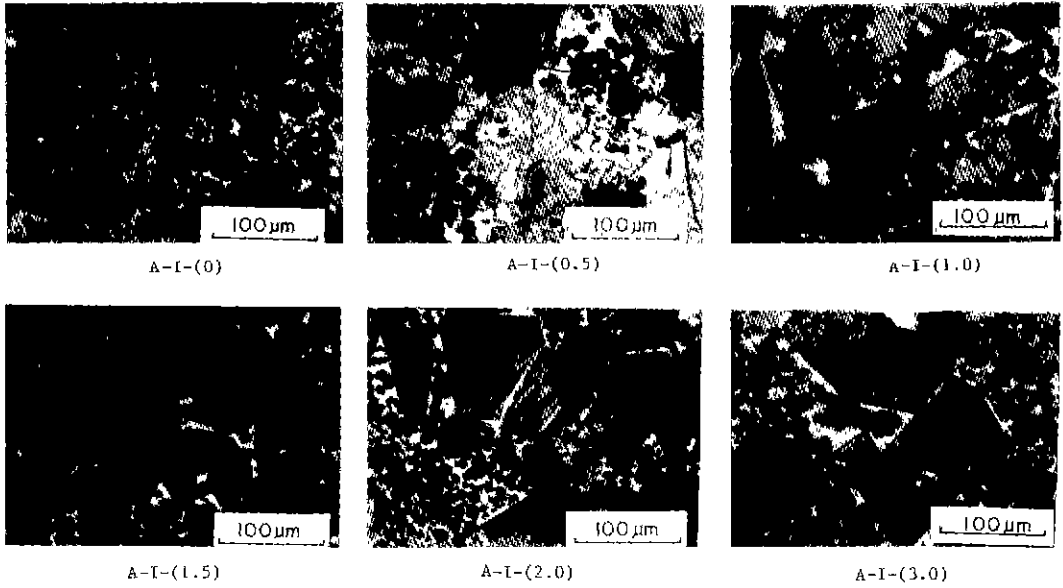


Fig. 4. Optical micrographs of A group samples. () : Amount of SO₃ added to the samples.

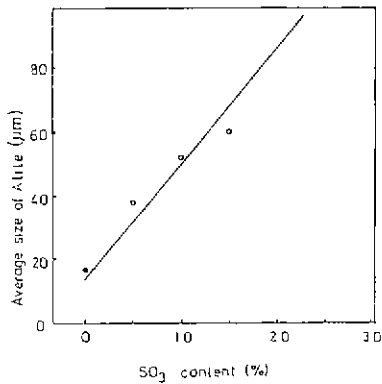


Fig. 5. Variation of average size of alite crystal with different content of SO₃ in the clinker.

CaSO₄ 를 첨가한 경우 添加量, 燒成溫度 및 燒成時間은 상관관계가 있었으며 적정량의 첨가는 클린커의 燒成溫度를 약 100 °C 정도 낮출수 있으나 과량의 첨가는 오히려 C₃S의 生成을 방해한다.¹⁷⁾

本實驗에서도 A 계열 클린커들에 대한 遊離石灰分析, X線回折分析 및 클린커 鐵物の 定率결과로 부터 소량의 SO₃ 가 첨가되면 좋은 鐵化劑로 작용하여 C₃S의 生成反應을 돕지만 과량으로 첨가되면 燒成性이 저하되고 C₃S의 生成량은 감소하며 C₂S의 生成량이 증가함을 알수 있었다.

1300 °C 이상의 溫度에서의 클린커反應은 擴散支配反應으로서^{4,3,12)} 反應物質 즉 Ca 및 Si의 融液內로의 溶解, 擴散特性이 중요하다. Si의 擴散係數를 구한 결과 SO₃의 含量증가에 따라 미소하게 감소하나 큰 차이를 보이지 않았다. 즉, SO₃의 含量증가에 따른 Si의 확산계수 변화가 C₃S의 생성저해에 그다지 큰 영향을 미치는 것이라고 생각되지는 않는다.

Strunge, Knöfel¹⁸⁾ 등은 SO₃가 첨가된 클린커내에서는 間隙質融液의 粘度저하, 表面張力저하, 組成변화 및 이온의 移動度변화 등 物理的, 化學的 變化는 融液의 平衡을, C₃S의 核生成이 저하되고 結晶成長率이 높아지는 準安定領域으로 이동시킨다고 하였다. 본 실험에서 Table 5의 EDS 元素分析 결과 SO₃의 첨가량에 따라 融液組成에서 CaO 含量은 감소하고 SiO₂ 含量이 증가하는 쪽으로 변화되었다. 融液組成중의 CaO의 감소는 C₃S의 核生成이 不利히 됨을 짐작할 수 있게 한다.

Maki 와 Goto¹⁹⁾는 시멘트 클린커내의 alite 相의 구성이 원료의 化學組成과 間隙質融液으로부터의 結晶化 kinetics에 크게 영향을 받으며 過飽和도가 높은 融液으로부터는 결정화가 빠르게 일어나 작고 對稱性이 양호한 M₃*²⁰⁾ 結晶이 生成되고 과포화도가 낮은 融液으로부터는 頻度數가 적고 불규칙적인 모양을 갖는

*1) M₃ : monoclinic type III

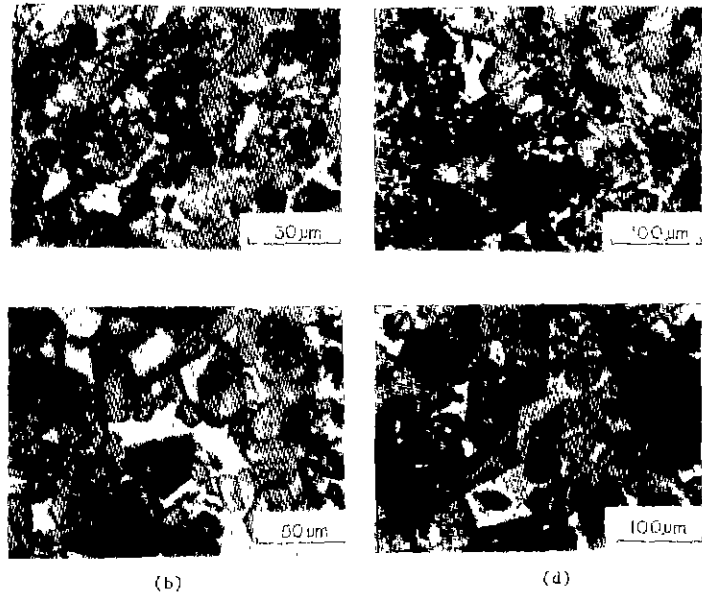


Fig. 6. Development in the microstructure of clinkers with different content of SO₃ and sintering time.

- (a) Without SO₃, 5min. (b) Without SO₃, 120min.
 (c) With 2% SO₃, 5min. (d) With 2% SO₃, 120min.

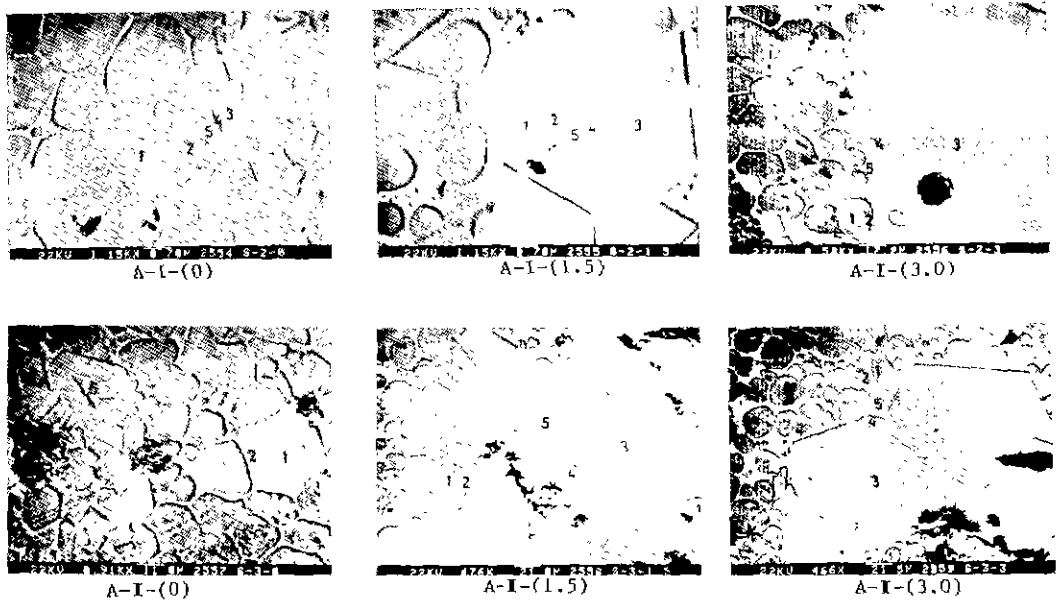


Fig. 7. SEM photographs and position of EDS analysis for A group samples.

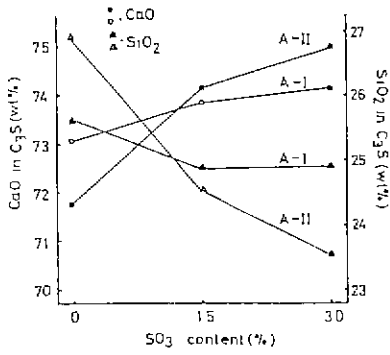


Fig. 8. Variation of CaO and SiO₂ content in C₃S crystals when different content of SO₃ was added to A group samples. (by EDS)

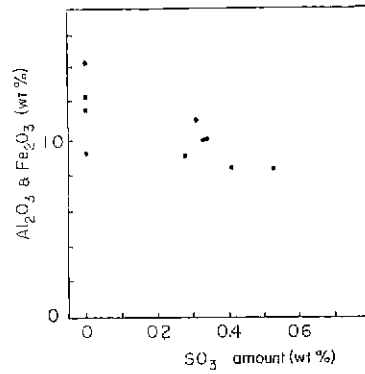


Fig. 9. Variation of Al₂O₃ and Fe₂O₃ content vs. SO₃ amount incorporated in C₃S.

Table 5. Analysis of Composition of Calcium Silicate Crystals and Melt for A group Samples by EDS.

Sample No.	Position	CaO	SiO ₂	Al ₂ O ₃	Fe ₂ O ₃	SO ₃
A - I - (0)	C ₂ S-1	65.75	32.30	1.65	1.30	tr
	2	65.86	31.18	1.05	1.91	•
	C ₃ S-3	73.20	25.36	0.50	0.95	•
	4	73.38	25.36	0.45	0.81	•
	melt-5	65.43	5.38	9.05	20.13	•
A - I - (1.5)	C ₂ S-1	65.88	30.02	1.05	1.29	1.76
	2	65.25	29.01	1.30	1.80	1.64
	C ₃ S-3	73.75	24.84	0.49	0.61	0.31
	4	72.57	24.31	1.05	1.71	0.91
	melt-5	65.38	5.39	9.63	17.49	1.57
A - I - (3)	C ₂ S-1	65.69	29.58	1.05	1.52	2.16
	2	67.14	28.35	1.04	1.39	2.09
	C ₃ S-3	73.85	24.95	0.44	0.48	0.28
	4	71.64	21.53	1.61	4.56	0.65
	melt-5	64.17	6.66	7.36	16.57	4.98
A - II - (0)	C ₂ S-1	65.57	34.80	0.90	0.74	tr
	2	63.94	34.21	0.96	0.89	•
	C ₃ S-3	71.76	27.31	0.55	0.38	•
	4	71.28	27.53	0.69	0.49	•
	melt-5	73.05	5.88	12.57	8.05	•
A - II - (1.5)	C ₂ S-1	67.45	28.88	1.08	0.92	1.67
	2	67.19	29.33	0.97	1.01	1.50
	C ₃ S-3	74.15	24.49	0.55	0.48	0.33
	4	74.36	24.38	0.50	0.35	0.41
	melt-5	71.91	4.48	0.36	12.49	0.76
A - II - (3)	C ₂ S-1	66.71	30.64	0.60	0.52	1.53
	2	67.46	27.72	1.28	1.50	2.03
	C ₃ S-3	75.07	23.50	0.56	0.53	0.34
	4	74.84	23.73	0.48	0.7	0.58
	melt-5	71.23	7.51	8.32	10.36	2.57

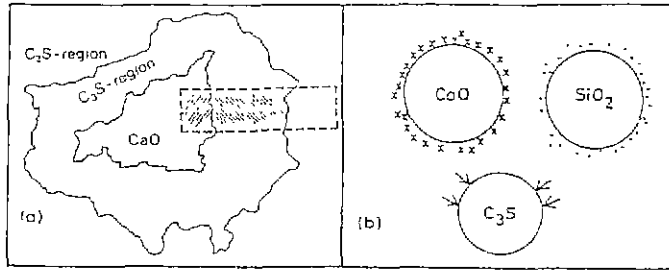


Fig. 10. Two dimensional models to interpret the inhibition of solution and transportation of CaO into met. ^{*,20)}
 (a) Effect of product rim (b) Effect of unreacted layer

M₁^{*2)} 結晶이 生成된다고 하였다.

SO₃는 液相의 生成溫度를 낮추어 약 1250 °C 부근에서 부터 液相이 生成되기 시작하며 따라서 CaO 成分에 대해 비교적 낮은 過飽和度 혹은 局部的인 過飽和가 형성되어 C₂S와 CaO 結晶群의 인접부에 M₁의 C₃S 結晶이 生成된다.⁶⁾ 이러한 사실은 Fig.6의 (c)에서 잘 나타나고 있다. 이때 CaO 結晶들을 둘러싸고 生成된 C₃S 結晶群은 CaO의 物質移動을 阻害하는 層으로 작용하여 외부의 融液의 CaO에 대하여 不飽和상태 일지라도 C₃S 結晶群 내부의 CaO가 용해되어 移動하는 것을 방해하게 된다.²⁰⁾ 더구나 첨가된 SO₃는 酸化物融液과 섞이지 않고 凝集되기 쉬우므로 이러한 국부적인 현상이 발생되고 따라서 C₃S의 生成에 영향을 미칠 것으로 생각된다.

소량의 SO₃는 融液相의 生成溫度저하와 함께 粘度를 낮춰주어 酸化物의 融液內로의 擴散을 빠르게 하여 CaO와 C₂S가 融液內로 溶解되고 擴散하여 C₃S를 生成하는 反應을 돕지만⁴⁾ 첨가량이 과다하면 間隙質融液의 粘度는 상당히 낮아져 CaO의 溶解는 빨리거나 表面張力의 감소가 커지게 되어 분해된 CaO 粒子들의 融液內로의 分散性을 저하시켜 C₃S의 核生成을 저하하며 일부 過飽和度가 높은 곳에서 生成된 C₃S 結晶은 再結晶成長을 하게 된다.⁶⁾

Fig. 4에서 2.0% 이상의 SO₃를 첨가하였을 때 融液內에 溶解되지 않은 未反應상태의 CaO 結晶이 잔존하고 있음을 볼 수 있으며 따라서 C₃S의 生成은 저해되는 것으로 생각된다. 즉, 과량의 SO₃를 첨가하였을 때 C₃S 生成의 저하는 Fig. 10에 제시된 Christensen⁶⁾과 Glasser²⁰⁾가 제안한 生成物層의 作用 및 表面張力감소 때문에 未反應層이 형성되고 融

液內 CaO의 飽和度 감소에 기인한다는 두 모델로서 설명될 수 있다.

Fig.8에서 SO₃ 함량에 따른 C₃S 結晶內의 SiO₂ 감소는 SO₃의 첨가로 인해 結晶內의 (SiO₄)⁻⁴ group이 (SO₄)⁻² group과 置換됨에 따른 결과로 생각된다.²¹⁾

5. 結 論

本 研究에서는 C₃S의 生成反應 및 特性에 대하여 첨가된 SO₃의 영향을 究明 하였으며 그 결과는 다음과 같다.

1) SO₃를 1.0 wt % 이하로 添加하였을 때 C₃S의 生成은 양호 하였으며 2.0 wt % 이상이 첨가되면 오히려 C₃S의 生成은 억제되었다. 그것은 CaO가 融液內로 溶解, 擴散되는 反應이 저해되기 때문이라 생각된다. 이때, Si의 擴散係數는 3.6~4.2 × 10⁻⁷ cm²/sec로서 SO₃의 添加量이 증가함에 따라 약간 감소하나 그에 따른 영향은 그다지 크지 않을 것으로 생각된다.

2) 1.0 wt % 이상의 SO₃를 첨가한 클린커에서 生成된 C₃S의 크기는 異常的으로 粗大해지고 그 안에 CaO 結晶과 融液成分 등을 내포하며, 結晶內에 Al₂O₃와 Fe₂O₃의 含量이 감소한 것으로 보아 結晶成長이 빠른 속도로 이루어진 것으로 생각된다.

3) 添加된 SO₃는 모든 클린커鑛物에 固熔되며 C₃S內의 固熔분은 SO₃ 첨가량에 무관하게 0.3~0.55% 이었고, C₂S와 融液에는 SO₃ 첨가량이 증가할수록 SO₃의 固熔量도 증가하였다.

〈 謝 辭 〉

本 研究는 財團法人 三千里財團의 研究費 지원으로 이루어졌으며 이에 感謝의 뜻을 표합니다.

*2) M₁ : monoclinic type I.

REFERENCES

1. F.P. Glasser, "Kinetics of Cement-Making Reactions", 8th Inter. Symp. Chem. Cem., Vol. 6, Sub-Theme(I), Rio de Janeiro (1986).
2. N.H. Christensen and O.L. Jepsen, "Diffusion in Three-Component Cement Clinkers", *J. Am. Ceram. Soc.*, 54(4), 208-210 (1971).
3. V. Johansen, "Model for Reaction between CaO Particles and Portland Cement Clinkers", *J. Am. Ceram. Soc.*, 56(9), 450-454 (1973).
4. Y.M. Butt and V.V. Timashev, "The Mechanism of Clinker Formation Processes and Ways of Modification", 6th Inter. Congr. Chem. Cem., pp.3-64, Moscow (1974).
5. I. Maki, "Relationship of Processing Parameters to Clinker Properties; Influence of Minor Components", 8th Inter. Symp. Chem. Cem., Vol.I Sub-Theme 1-2, Rio de Janeiro (1986).
6. F.P. Glasser and J. Marr, "Sulphates in Cement Clinkering; Immiscibility between Sulphate and Oxide Melt at 1350°C", *Cem. Conc. Res.*, 10, 753-758 (1980).
7. Y.B. Pliego-Cuervo and F.P. Glasser, "The Role of Sulphates in Cement Clinkering Reaction; Phase Formation and Melting in the System CaO-Ca₂SiO₄-CaSO₄-K₂SO₄", *Cem. Conc. Res.*, 7, 477-482 (1977).
8. N.H., Christensen, "Modeling the Clinker Reaction", *Cem. Tech.*, pp.238-247, June (1981).
9. F. Xiuji and L. Shizong, "Investigation of the Effect of Minor Ion on the Stability of β-C₂S and the Mechanism of Stabilization", *Cem. Conc. Res.*, 16, 587-601 (1986).
10. Y.B. Pliego-Cuervo and F.P. Glasser, "The Role of Sulphates in Cement Clinkering; Subsolidus Phase Relation in the System CaO-Al₂O₃-SiO₂-SO₃", *Cem. Conc. Res.*, 9, 51-56 (1979).
11. F.M. Lea and T.W. Parker, "The Quarternary System CaO-Al₂O₃-SiO₂-Fe₂O₃ in Relation to Cement Technology", *Build-Res., Tech. Paper No.16*, pp.1-51, London (1935).
12. KSL 5120.
13. F. Hofmanner, "Microstructure of Portland Cement Clinker", pp.33-38, Holderbank Management and Consulting Ltd. Switzerland (1975).
14. KSL 5201.
15. M.G. Midgley, D. Rosaman and K.E. Fletcher, "X-Ray Diffraction Examination of Portland Cement Clinker", 4th Int. Symp. Chem. Cem., pp.69-74 (1960).
16. R. Kondo and S. Choi, "Mechanism and Kinetics of Portland Cement Clinker Formation for an Example of the Solid State Reaction in the Presence of Liquid Phase", 5th Inter. Symp. Chem. Cem. Vol. I, 163-171, Tokyo (1968).
17. J. Strunge, D. Knöfel and K. Dreizier, "Influence of Alkalies and Sulphur on the Properties of Cement-Part I", *Zem. Kalk Gips.*, 38, 150-158 (1985).
18. J. Strunge, D. Knofel and K. Dreizier, "Influence of Alkalies and Sulphur on the Properties of Cement-Part II", *Zem. Kalk Gips.*, 38, 441-450 (1985).
19. I. Maki and K. Goto, "Factors Influencing the Phase Constitution of Alite in Portland Cement Clinker", *Cem. Conc. Res.*, 12, 301-308 (1982).
20. F.P. Glasser, "The Formation and Decomposition of Tricalcium Silicate in Cement Clinker", *요업재료의 과학과기술*, 2(2), 163 ~ 171(1987).
21. A. Ghose and P. Barnes, "Electron Micro-pore Analysis of Portland Cement Clinker", *Cem. Conc. Res.*, 9, 747-755 (1979).